

日本電信電話公社武藏野電気通信研究所 正員〇高森裕文

篠 順一

北海道電気通信局

吉田 雄一

## まえがき

新しい地下管路方式の開発を目標とした小断面シールドシステムの研究の一環として内径 $\varnothing 200\text{ mm}$ のトンネル内に40条の結束した硬質ビニル管を引込む工法について検討を行なっている。

本報告は多条数結束管の運動特性を把握するため実施した坑内長50mの引込実験結果について述べるものである。

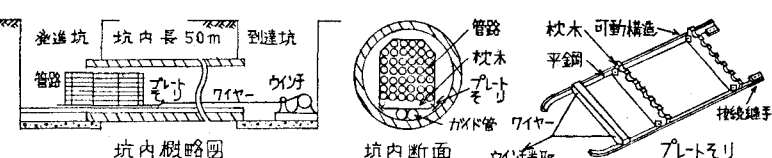
## 2. 実験坑内概況

実験坑内は発進坑と到達坑間に掘削された土被り5mのトンネルで図-1に示される様に水平方向は発進坑より計画線に沿って左側から右側に蛇行しており、特に右側の第2曲点は63cmの偏位を有している。鉛直方向は到達坑に向かって上部に偏位してあり到達坑で最大偏位43cmを示す。

## 3. 実験方法

## (1) 結束管路引込方法

坑内へ40条の管路引込む工法は曲率半径200m程度の蛇行を有するトンネルに対して引込み可能であること、またトンネル両端の人孔に管路を上下、左右 $\pm 5\text{ cm}$ の間隔に取付け得ることとの条件を満足し、作業の省力化、および安全施工を目標として図-2スに示す通り坑内底面にモリのガイド管として内径 $\varnothing 50\text{ mm}$ の硬質ビニル管をス本布設し、管路40本を組立配置したプレートモリをウインチにより引込む工法とした。



## (2) 測定方法

測定は引込速度3m/分

一定として次の特性について行なった。

(1)引込張力；モリ先端のワイヤーにロードセルを挿入して測定した。

(2)ガイド管の応力と挠み；管の円周応力、および挠み量をそれぞれ図-3に示す位置に取付けたストレンジゲージ、ダイヤルゲージで測定した。

(3)管路の傾斜；引込後、人孔への管路取付のため管路の傾斜を避ける目的で管路先端の枕木に取付け回転変位型傾斜計で測定した。

## 4. 実験結果、および考察

各特性値の測定は引込の際、各モリのブロック(5, 5m)毎に行なった。

## (1) 引込張力

引込張力は最大張力を図-4に表わす。最大張力は引込距離と共にほぼ直線的に増大する。

引込距離( $x$ )と張力( $y$ )の回帰式は

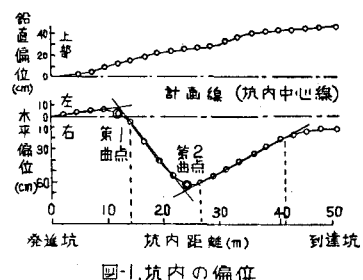


図-1. 坑内の偏位

図-2. 管路引込方法

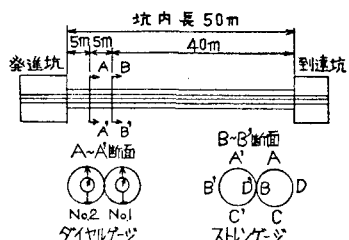


図-3. ゲージ取付位置

$$\bar{y} - \bar{\bar{y}} = \alpha(x - \bar{x})$$

$$x = \frac{\sum_{i=1}^N x_i y_i - N \bar{x} \bar{y}}{\sum_{i=1}^N x_i^2 - N \bar{x}^2}$$

から①式が得られる。

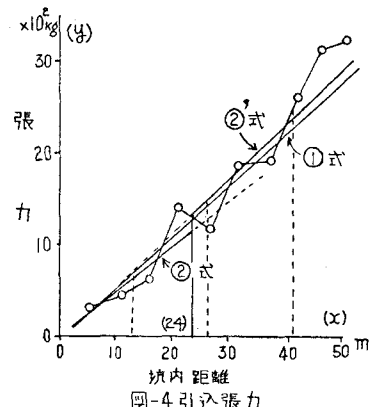
$$y = 58x - 64 \quad \text{--- --- --- --- ---} \quad \textcircled{1}$$

しかし、引込張力の摩擦係数は第2曲点(図-1、曲率半径54m)を境にして  $x < 24$  で平均 0.38,  $x > 24$  では平均 0.44 と相違するので  $x = 24$  を境にしてそれまでの回帰式を求めると次の②, ③'式となる。

$$y = 48x + 1 \quad (x < 24) \quad \text{--- --- --- ---} \quad (2)$$

$$y = 59x - 61 \quad (x \geq 24) \quad \text{--- --- --- --- } \textcircled{2}'$$

実測値は①式より②、③式の方が近く、単一直線よりも2本の直線で近似されることを示している。



#### 図-4.引込張力

一方引張式としての F·H·Buller の理論式に依つて  $\chi = 14$ , 27 および 41 でそれで引張力を求め、実測値と比較した結果 40% 以上の相違を示した。

したがって、大きな蛇行を有する場合のヒューム管坑内の結束管路引込張力は蛇行点を境にして考える必要のあることが判明した。

#### (2)ガイド管の応力と撓み

各ノックの最大荷重に依つて最も大きな値を示す上下位置の応力、および焼け量を図-5に示した。図-5に依るとガイド管、応力は坑内の進行と関連あることを示している。

撞み量は③式によって表わされる。

$$\delta = \frac{r^3}{EI} \left( \frac{\pi}{4} - \frac{\alpha}{\pi} \right) W = 0.1488 \frac{r^3}{EI} W \quad \text{--- (3)}$$

ここに  $W$ ; 線荷重  $r$ ; 管厚中心半径

E; 曲げ弾性率 I; 断面2次モーメント

③式に依れば引込重量  $W = 11.7 \text{ kg/cm}$  の時の撓み量は  $4.1 \text{ mm}$  となる。実測に依る撓み量は  $1.0 \sim 1.9 \text{ mm}$  であり理論値より小さい。これは坑内の蛇行に依って管路が坑内壁に片寄り荷重の一部を坑内壁で受けた為と考えられる。

ガイド管の最大応力は  $39 \text{ kg/cm}^2$  であつて応力許容値  $20 \text{ kg/cm}^2$  より小さく揉み量も小さいので、ガイド管は本工法に依る引込みに十分耐得する。

### (3) 管路の傾斜

運動中の傾斜角度は±3度程度の振幅を示すが、各ブロック引込後の管路先端の傾斜角は図-6に示す通りである。図に依るとトンネルの蛇行と共に大きな傾斜を示すが最大水平偏位を示す距離24mで傾斜角度4度を示した。管路の最大傾斜角は距離24mで4度30分を示した。その後傾斜角は反転するが坑内中心が計画線上に近づくにつれて傾斜角は小さくなり到達坑では10分という僅かな角度であった。

5. 紹論

φ75mm硬質ビニル管40条を結束してプレートアリ方式によりセーム管トンネル坑内に引込工法は、引込張力がほぼ直線的に増大し、ガイド管の応力および擦み量は小さく、また引込時の管路傾斜角度も僅かであり十分安全な工法であることが確認された。

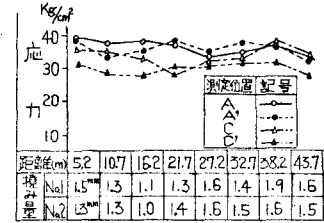


図-5.ガイド管の応力と撓み

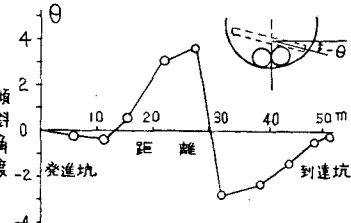


図-6 坑内の傾斜角度